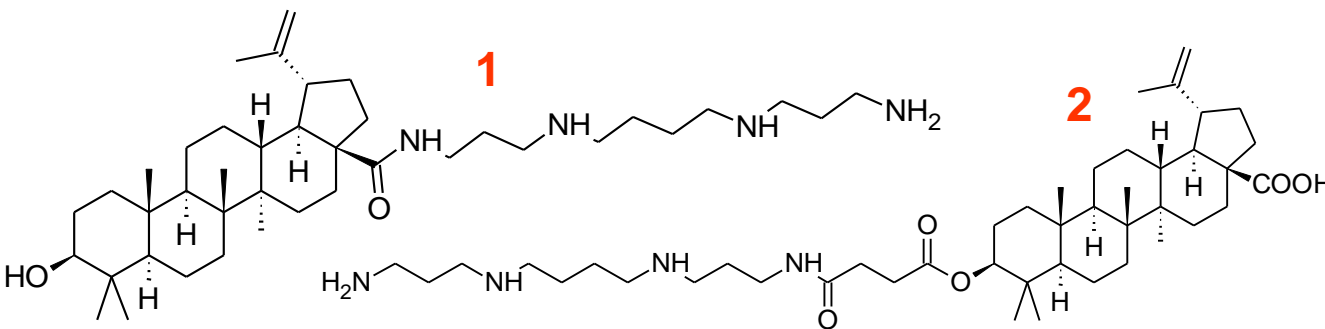
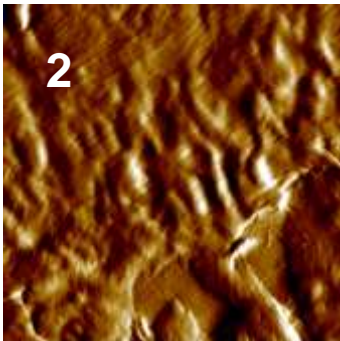
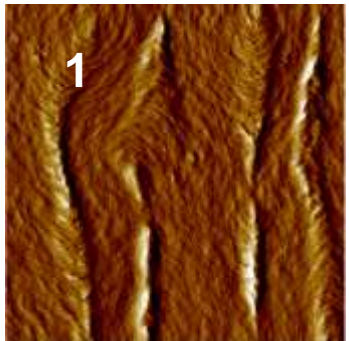


# Chemie triterpenoidních supramolekul

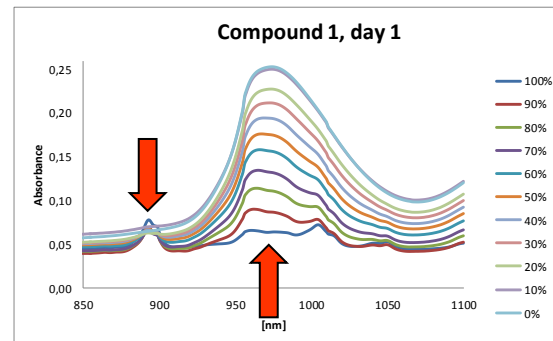
Zabýváme se přípravou a studiem vlastností a biologické aktivity nadmolekulárních útvarů, **supramolekul**. Molekuly, které zkoumáme, jsou polyfunkční deriváty terpenoidů, které jsou schopny mnohonásobných polárních a nepolárních interakcí nezbytných pro samoskladbu vlastnosti.



Pozorováním pod mikroskopem

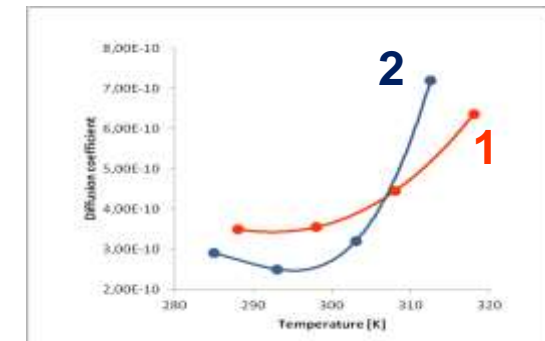


Měřením UV spekter



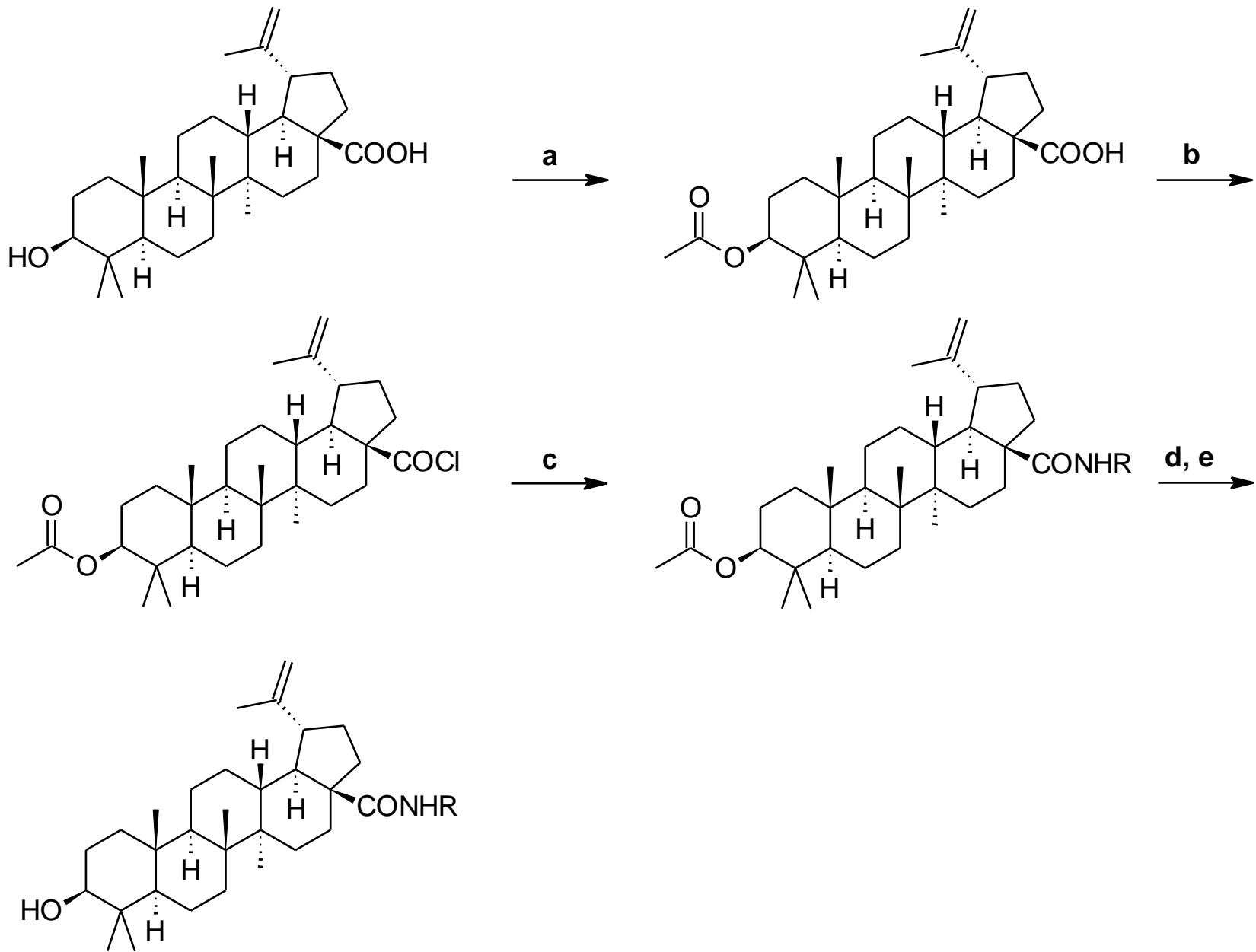
Jak poznáme,  
že ke samoskladbě  
dochází?

Měřením difuzních  
koeficientů pomocí  
NMR

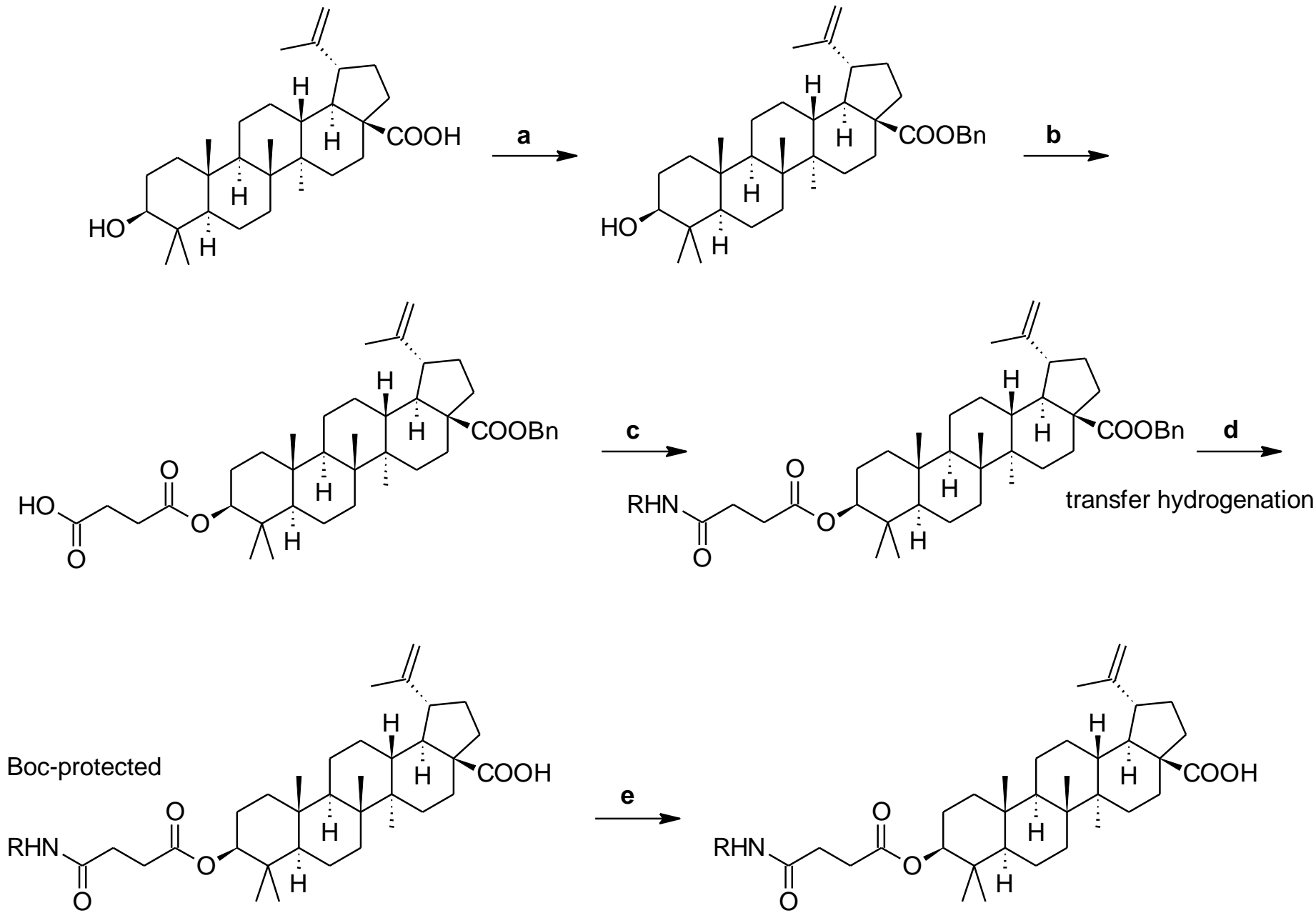


Kontakt: [Zdenek.Wimmer@vscht.cz](mailto:Zdenek.Wimmer@vscht.cz); [wimmer@biomed.cas.cz](mailto:wimmer@biomed.cas.cz)

# Polyamine-based amides of betulinic acid



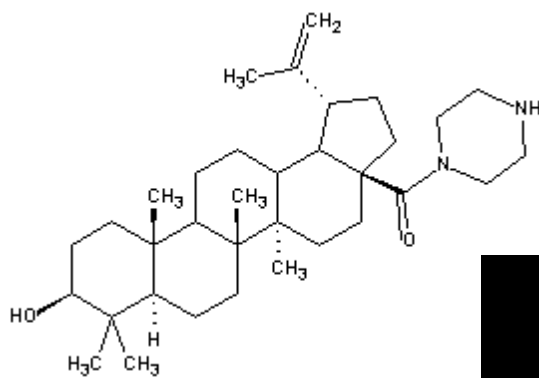
# Polyamine-derived betulinic acid hemiesters at C(3)-OH



# Physico-chemical and ADME parameters

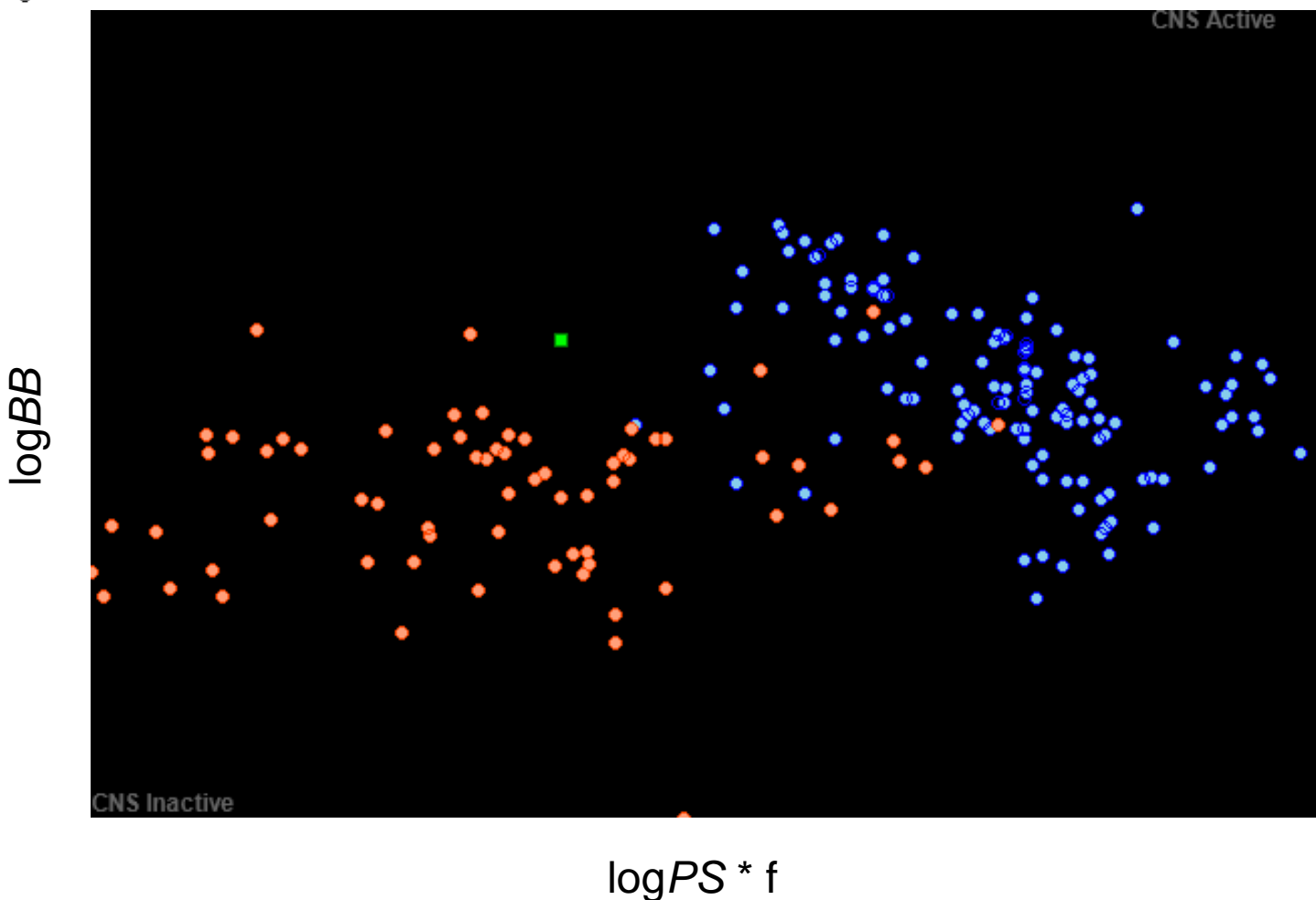
Compd	MW < 550	log P -0.4 - +5.6	log D*	log S* -6.5 - +0.5	bioav.	log PS.f	log PB +2 - -2	log BB -3 - +1.2
Sito-a	557	6.67	4.83	-6.40	30-70%	-4.9	0.06	0.2
Sito-b	583	6.67	7.20	-7.34	<30%	-4.2	0.23	0.23
Sito-c	699	7.03	1.71	-2.20	<30%	-5.8	0.5	0.5
Amid-a	499	7.77	3.34	-4.07	30-70%	-5.8	0.2	0.2
Amid-b	525	6.09	5.47	-5.00	30-70%	-3.9	0.35	0.21
Amid-c	641	6.09	0.17	-0.02	30-70%	-5.2	0.66	0.66
Hemi-a	599	5.20	2.70	-6.38	<30%	-4.2	0.06	0.07
Hemi-b	625	9.13	3.65	-6.74	<30%	-6.6	0	0
Hemi-c	741	5.49	1.48	-4.12	<30%	-5.2	0.61	0.61

# ADME parameters: Example of activity on CNS



$\log PS * f$ :  
brain / plasma  
equilibration  
rate

$\log BB$ :  
hybrid parameter  
determined by  
permeability,  
plasma and brain  
tissue binding and  
active transport  
mechanism



# Physico-chemical parameters and cytotoxicity

Compd	MW < 550	log P -0.4 - +5.6	log D*	log S* -6.5 - +0.5	CEM IC <sub>50</sub> μM	MCF7 IC <sub>50</sub> μM	HeLa IC <sub>50</sub> μM	BJ IC <sub>50</sub> μM
Sito-a	557	6.67	4.83	-6.40	>50	>50	>50	>50
Sito-b	583	6.67	7.20	-7.34	35.3	>50	>50	37.7
Sito-c	699	7.03	1.71	-2.20	26.5	>50	18.4	19.7
Amid-a	499	7.77	3.34	-4.07	0.7	2.4	2.3	2.6
Amid-b	525	6.09	5.47	-5.00	0.8	7.8	5.7	6.2
Amid-c	641	6.09	0.17	-0.02	7.7	3.3	4.4	3.9
Hemi-a	599	5.20	2.70	-6.38	26.8	>50	>50	>50
Hemi-b	625	9.13	3.65	-6.74	7.3	35.5	21.9	>50
Hemi-c	741	5.49	1.48	-4.12	5.2	>50	23.8	42.9

# Acknowledgment

## A research team and collaborating institutions:

Jana Šusteková, Uladzimir Bildziukevich, Martina Wimmerová  
**(IEB AS CR & ICT Prague)**

Kristýna Pekárková, Iveta Procházková, Zülal Özdemir  
**(ICT Prague)**



Erkki T. Kolehmainen, Elina I. Sievänen  
**(University of Jyväskylä, Finland)**



### Financial support:

MŠMT & EU (FP7): Projects 2B06024 (SUPRAFYT), LD13057 (COST CM1106), C26 (CRP)

AS CR: Czech – Finnish collaboration, project 200380901

Czech Science Foundation: Project P503/11/0616

TAČR: Project TA03010877